

## **Effect study of space configuration on the nuclear structure of nucleus $^{30}\text{P}$ by applying nuclear shell model**

### **دراسة تأثير ترتيب الفضاء على التركيب النووي لنواة $^{30}\text{P}$ بتطبيق أنموذج القشرة النووية**

علي خلف حسن و فاطمة حميد عبيد  
جامعة الكوفة/ كلية التربية للبنات / قسم الفيزياء

#### **الخلاصة**

تم حساب مستويات الطاقة لنواة الفسفور  $^{30}\text{P}$  باستخدام جهد دلتا السطحي في كلا الترتيبين المختلط والنقي وبعد مقارنة نتائج البحث مع النتائج العملية وجد تطابقاً مقبولاً لمستويات الطاقة الواطئة في حالة الترتيب النقي إما في مستويات الطاقة العليا وجد توافقاً جيداً مع مستويات الطاقة في حالة الترتيب المختلط ولوحظ أيضاً تأثير نوع النيوكليليون على طيف الطاقة يظهر في الحسابات من خلال قيمة طاقة الجسيمة المفردة للبروتون والنيوترون .

#### **Abstract**

Surface Delta Interaction(SDI) have been used to calculate the energy levels of phosphorus nucleus  $^{30}\text{P}$  in both configurations mixed and pure. an over all agreement with experimental data is obtain for the low energy level in pure configuration in this work .Also the result of high level agree very well with mixed configuration.

#### **(Introduction)**

#### **المقدمة :-**

بعد فهم التركيب النووي (Nuclear Structure) من الأهداف الرئيسية في الفيزياء النووية، ونظرًا لغياب النظرية الشاملة والمترابطة للتركيب النووي فقد جرت محاولات متعددة لربط المعطيات النووية بعدد من النماذج النووية المختلفة ، التي استخدمت الأسس الفيزيائية المهمة كقاعدة أساسية لها للحصول على التركيب الدقيق للنوى [1]. وقد نال التركيب النووي اهتمام الكثير من الباحثين إذا أجرروا العديد من الدراسات التي أظهرت نماذج نووية تهدف إلى تفسير تركيب وخصائص النوى ويعود أنموذج القشرة النووي أحد النماذج المهمة التي تصنف تركيب النواة[2]، حيث إن أهمية أنموذج القشرة النووي تتمثل في قدرته على إعطاء تتبع تقريري صحيح ودقيق لمستويات الطاقة التي يمكن أن توجد فيها النيوكليليونات ذات القيم المختلفة من الزخم الزاوي المداري [3]، كما ويصف أنموذج القشرة نظام الجسيمات المقاولة في حدود حركة الجسيمات المستقلة في جهد مركزي ، التي تبين بعض تركيب القشرة (Shell Structure) [4]، تقدم أنموذج القشرة النووي لفشل النماذج الأخرى في استنتاج طاقة الترابط التي كانت أكثر المعلومات اتساعاً في ذلك الوقت واتسعت حسابات أنموذج القشرة وشملت مختلف جوانب النوى[5] ، ونجاح هذا الأنماذج شجع عدد من الباحثين إلى استخدامه بنجاح كبير مع جهد دلتا السطحي في عدد من الدراسات حيث استخدم في تحليل خصائص بعض نوى القشرة المغلقة [6]، كما واستخدم في حساب قيم مستويات الطاقة (المستويات الاهتزازية لرباعي القطب) لنوى القشرة المفتوحة المضاعفة[7]، وكذلك فقد تميز في دراسة الانقلالات الواطئة في الطاقة لبعض العناصر [8]. في هذا البحث فقد تم استخدام برنامج حاسوب (Matlab-2009) لحساب قيم عنصر المصفوفة باستخدام جهد دلتا السطحي و حساب القيم الذاتية للترتيب المختلط لنواة  $^{30}\text{P}$ .

**(Theory)**

**النظرية :**

بعد التأثير المتبادل المتبقي بين نيوكلريونين جزء من التفاعل الذي لا يتضمن معدل الجهد المركزي ويمثل القوة الناتجة من التصادم بين النيوكلريونات [9] ، والسماح للتأثير المتبادل بين النيوكلريونات يزيل الانحلال في المستويات التي تمثل خاصية من خواص أنموذج القشرة لذلك فإن التأثير سوف يلغى أنموذج الجسيمة المستقلة البسيط [4, 10] ، ويسبب التأثير المتبادل حدوث اضطراب في مؤثر هامiltonون الذي يمثل جهد طاقة النيوكلريونات ويساوي حاصل جمع جهد جسيمتيين ويوصف

$$\text{بـ } \sum_{i < j} V_{ij} \text{ وبحسب هذا يستخرج هامiltonون للحالة المضطربة بالمعادلة الآتية [12, 11]:} \quad (1)$$

$$H' = \sum (H_{\circ})_n + \sum_{i < j} V_{ij}$$

ونتيجة للتصادمات بين النيوكلريونات فإن طاقة الجسيمة التي تتحرك في مدار مستقر (Stable-Orbit) سوف تتغير بمرور الوقت وتحتل مستويات قريبة أخرى فالتأثير المتبادل هو مزج (خلط) مستويات الجسيمة المفردة المختلفة الذي ينتج عنه الترتيب المختلط (Configuration Mixing) [5].

بحسب مبدأ باولي للاستبعاد تكون أغلب التصادمات المرنة في داخل النواة ممنوعة لذلك فإن النيوكلريونات تتحرك بصورة مستقلة بعضها عن بعض في داخل النواة و يحدث التفاعل المؤثر بين النيوكلريونات بصورة رئيسية عند السطح النووي فقط، وباستعمال هذه الفرضية فإن كل من Moszkowski, Green فرضوا أنموذج بسيط لوصف التفاعل بين النيوكلريونات المكافئة عند السطح النووي وهذا التفاعل يدعى بجهد دلتا السطحي (Surface Delta Interaction)، وأحياناً يعرف بتفاعل المدى الصفرى (Zero-Range Interaction) ، وهذا يعني أن التفاعل المتبقي يمكن أن يقرب بواسطة جهد دلتا السطحي على وفق المعادلة الآتية [9]:-

$$V_{ij} = -4\pi V_{\circ} \delta(\Omega_{ij}) \quad (2)$$

$$\Omega_{ij} = r_i - r_j \quad \text{إذ إن } \Omega_{ij} \text{ تمثل المسافة الزاوية بين الجسيمات المتفاعلة حيث إن}$$

$V$  تمثل قوة التفاعل ،  $r_i, r_j$  تمثل إحداثيات النيوكلريون إن الطاقة الكلية للحالة  $j$  نسبة للقشرة المغلقة تعطى بالمعادلة الآتية [12]:-

$$\langle jjJM | H ) | jjJM \rangle = 2\varepsilon_j + \langle jj JM | V | jj JM \rangle \quad (3)$$

حيث إن  $(\varepsilon_j)$  تمثل طاقة الجسيمة المفردة الناتجة من التأثير المتبادل (Interaction Energy) وترتب (Closed Core)

وان  $\langle j_1 j_2 | V_{(1,2)} | j_1 j_2 \rangle$  تمثل الطاقة الناتجة عن التأثير المتبادل (Interaction Energy) طاقة التفاعل لجسيمتيين بزخم زاوي كلي ( $J$ ).

يعبر عن عنصر المصفوفة الهاميلتوني  $H$  وحسب الجسيمات في الغلاف الخارجي (خارج القشرة المغلقة) وترتيب الحالة  $j$  بالمعادلات الآتية [12]:-

$$\langle H \rangle_{11} = \varepsilon_{j_1} + \varepsilon_{j_2} + \langle j_1 j_2 | V_{(1,2)} | j_1 j_2 \rangle \quad (4)$$

$$\langle H \rangle_{22} = \varepsilon_{j_3} + \varepsilon_{j_4} + \langle j_3 j_4 | V_{(1,2)} | j_3 j_4 \rangle \quad (5)$$

$$\langle H \rangle_{12} = \langle H \rangle_{21} = \langle j_1 j_2 | V_{(1,2)} | j_3 j_4 \rangle$$

حيث إن معادلة (4) يمكن من خلالها حساب قيمة الطاقات للنيوكلريونات في الترتيب النقي (Pure Configuration) ، أما لحساب قيمة الطاقات للنيوكلريونات في الترتيب المختلط فتضيق معادلة (5) إلى المعادلة (4).

عند التعامل مع اثنين من الجسيمات خارج القلب المغلق فإن عنصر المصفوفة يعطى بالعلاقة الآتية [12]:-

$$\langle j_1 j_2 | V^{SDI}(1,2) | j_3 j_4 \rangle_{JT} = -(-1)^{j_1+j_2+j_3+j_4} \frac{V \bar{R}}{4(2J+1)} \times \left[ 1 + (-1)^{\ell_1+\ell_2+\ell_3+\ell_4} \right]$$

$$\left[ (2j_1+1)(2j_2+1)(2j_3+1)(2j_4+1) / \left( 1 + \delta_{j_1 j_2} \delta_{\ell_1 \ell_2} \right) \times \left( 1 + \delta_{j_3 j_4} \delta_{\ell_3 \ell_4} \right) \right]^{1/2} \times \left[ (1 + (-1)^T \left\langle j_1 j_2 \frac{1}{2} \frac{1}{2} | J1 \right\rangle \times \left\langle j_3 j_4 \frac{1}{2} \frac{1}{2} | J1 \right\rangle + (-1)^{\ell_2 + \ell_4 + j_2 - j_4} \times \left\{ 1 - (-1)^{J+T+\ell_3+\ell_4} \left\langle j_1 j_2 \frac{1}{2} \frac{-1}{2} | J0 \right\rangle \times \left\langle j_3 j_4 \frac{1}{2} \frac{-1}{2} | J0 \right\rangle \right\} \right] \right] \quad (6)$$

لماضفة تعطى مع التقيد بالتكامل القطرى

$$\bar{R} = \int R_{j_1}(r) R_{j_2}(r) R_{j_3}(r) R_{j_4}(r) r^2 dr$$

إذ إن  $(r)_j$  هي دوال ذاتية للجهد وبذلك فان عنصر الماضفة يحدد بوضوح دوال موجبة عندما  $r \rightarrow 0$  فأن عدد موجب لحالات  $j$

$$\bar{R} = (-1)^{n_1+n_2+n_3+n_4} R_{\circ} \quad (7)$$

وعند التعامل مع اثنين من الجسيمات المتماثلة حيث إن البرم النظيري لها  $T=1$  فان عنصر الماضفة في المعادلة (6) يعطى بالشكل الآتي [12] :-

$$\begin{aligned} \left\langle j_1 j_2 | V^{SDI}(1,2) | j_3 j_4 \right\rangle_{JT} &= (-1)^{j_1+j_3+\ell_2+\ell_4+n_1+n_2+n_3+n_4} \times \frac{V_0 R_{\circ}}{4(2J+1)} \times \left[ 1 + (-1)^{\ell_1+\ell_2+\ell_3+\ell_4} \right] \\ \left[ (2j_1+1)(2j_2+1)(2j_3+1)(2j_4+1) / \left( 1 + \delta_{j_1 j_2} \delta_{\ell_1 \ell_2} \right) \times \left( 1 + \delta_{j_3 j_4} \delta_{\ell_3 \ell_4} \right) \right]^{1/2} \times &\left\{ 1 - (-1)^{J+\ell_3+\ell_4} \right\} \\ \left\langle j_3 j_4 \frac{1}{2} \frac{-1}{2} | J0 \right\rangle \times & \\ \left\langle j_1 j_2 \frac{1}{2} \frac{-1}{2} | J0 \right\rangle \end{aligned} \quad (8)$$

إذ إن  $n_i$  تمثل عدد الأنماط القطرية لحالات  $j$ ،  $V_0 R_{\circ}$  تمثل قوة التفاعل وتحدد من الطيف التجاربي،  $\ell$  عدد الكم المداري والأقواس هي معاملات كلبس - كوردن.

يمكن تمثيل القلب المغلق لنواة الفسفور  $^{30}_{15}P$  (الفردية – الفردية) بنواة السليكون  $^{28}_{15}Si$ <sup>28</sup> ونفترض أن النيوكليونين المتبقيين البروتون والنيوترون يتواجدان في فضاء الأنماذج ( $1s_{1/2}$  od<sub>3/2</sub>) إما حالات الزخم الزاوي الكلي المسمومة والتماثل لنواة P<sup>30</sup> تكون على النحو الآتي :-

$$J^+ = 0, 1, 2, 3$$

ولحساب قيم مستويات الطاقة المرافق لكل حالة من الحالات المذكورة أعلاه في كلا الترتيبين المختلط والنقي للنيوكليونات المكافئة في فضاء الأنماذج ( $1s_{1/2}$  od<sub>3/2</sub>) نعتمد على قيم طاقة الجسيمة المفردة للبروتون والنيوترون والتي تأخذ القيم الآتية [13,17]:

$$\epsilon_{1s_{1/2}}(p) = -2.236 MeV$$

$$\epsilon_{0d_{3/2}}(p) = -0.853 MeV$$

$$\epsilon_{1s_{1/2}}(n) = -8.474 MeV$$

$$\epsilon_{0d_{3/2}}(n) = -7.204 MeV$$

وباستخدام قيم عنصر المصفوفة  $\left\langle j_1 j_2 \left| V^{SDI} \right| j_3 j_4 \right\rangle$  التي تم حسابها بتطبيق المعادلتين (6,7) المدرجة في الجدول (1)، ونحصل على قيم مستويات الطاقة عندما يكون ترتيب النيوكليونات مختلطًا بتطبيق المعادلتين (4)، (5) من خلال حساب القيم الذاتية والمدرجة في الجدول (2)، كما ونحصل على قيم مستويات الطاقة في حالة ترتيب النيوكليونات النقي من خلال تطبيق المعادلة (4) فقط والمدرجة في الجدول (3)، وتمت في الجدولين (4)، (5) مقارنة القيم النظرية لمستويات الطاقة للترتيبين المختلط والنقي نسبةً للحالة الأرضية على التوالي والقيم العملية المتوفرة [15-17] والموضحة بالشكل (1) والشكل (2) للترتيبين المختلط والنقي على التوالي .

**جدول (1) قيم عنصر المصفوفة باستخدام جهد دلتا السطحي (SDI) لنواة P<sup>30</sup> عندما تكون قيمة**

$$. V_0 R_0 = 0.9 MeV$$

$j_1$	$j_2$	$j_3$	$j_4$	$J$	$\left\langle j_1 j_2 \left  V^{SDI} \right  j_3 j_4 \right\rangle$
$\frac{1}{2}$	$\frac{1}{2}$	$\frac{1}{2}$	$\frac{1}{2}$	0	0
$\frac{1}{2}$	$\frac{1}{2}$	$\frac{1}{2}$	$\frac{1}{2}$	1	-0.9
$\frac{1}{2}$	$\frac{1}{2}$	$\frac{3}{2}$	$\frac{3}{2}$	0	0
$\frac{3}{2}$	$\frac{3}{2}$	$\frac{3}{2}$	$\frac{3}{2}$	0	0
$\frac{1}{2}$	$\frac{1}{2}$	$\frac{3}{2}$	$\frac{3}{2}$	1	0.5692
$\frac{1}{2}$	$\frac{1}{2}$	$\frac{1}{2}$	$\frac{3}{2}$	1	0
$\frac{1}{2}$	$\frac{3}{2}$	$\frac{1}{2}$	$\frac{3}{2}$	1	-1.8

$\frac{1}{2}$	$\frac{3}{2}$	$\frac{3}{2}$	$\frac{3}{2}$	1	1.1384
$\frac{1}{2}$	$\frac{3}{2}$	$\frac{1}{2}$	$\frac{3}{2}$	2	-1.08
$\frac{1}{2}$	$\frac{3}{2}$	$\frac{3}{2}$	$\frac{3}{2}$	2	0
$\frac{3}{2}$	$\frac{3}{2}$	$\frac{3}{2}$	$\frac{3}{2}$	3	-1.08
$\frac{3}{2}$	$\frac{3}{2}$	$\frac{3}{2}$	$\frac{3}{2}$	2	0
$\frac{3}{2}$	$\frac{3}{2}$	$\frac{3}{2}$	$\frac{3}{2}$	1	-1.08

**جدول (2) قيم مستويات الطاقة لنواء  $P^{30}$  باستخدام جهد دلتا السطحي (SDI) في حالة الترتيب المختلط للنيوكليونات والمقابلة لقيم الزخم الزاوي الكلي والتماثل.**

$J^\pi$	$E(MeV)$
$1^+$	-13.589(G.S)
$1^+$	-11.682
$2^+$	-11.546
$0^+$	-10.711
$1^+$	-9.384
$2^+$	-9.383
$3^+$	-9.137
$1^+$	-8.461
$0^+$	-8.057
$2^+$	-8.057

**مجلة جامعة كريلاء العلمية – المجلد التاسع - العدد الثالث / علمي / 2011**

جدول (3) قيم مستويات الطاقة لنواة  $P^{30}$  باستخدام جهد دلتا السطحي (SDI) في حالة الترتيب النقي للنيوكليونات والمقابلة لقيم الزخم الزاوي الكلي والتماثل.

$J^\pi$	$E(MeV)$
$1^+$	-11.611(G.S)
$1^+$	-11.241
$1^+$	-11.127
$0^+$	-10.711
$2^+$	-10.521
$2^+$	-10.407
$1^+$	-9.137
$3^+$	-9.137
$0^+$	-8.057
$2^+$	-8.057

جدول (4) المقارنة بين القيم النظرية لمستويات الطاقة نسبة للحالة الأرضية والقيم العملية في الترتيب المختلط لنواة  $P^{30}$  بحسب قيم الزخم الزاوي الكلي والتماثل.

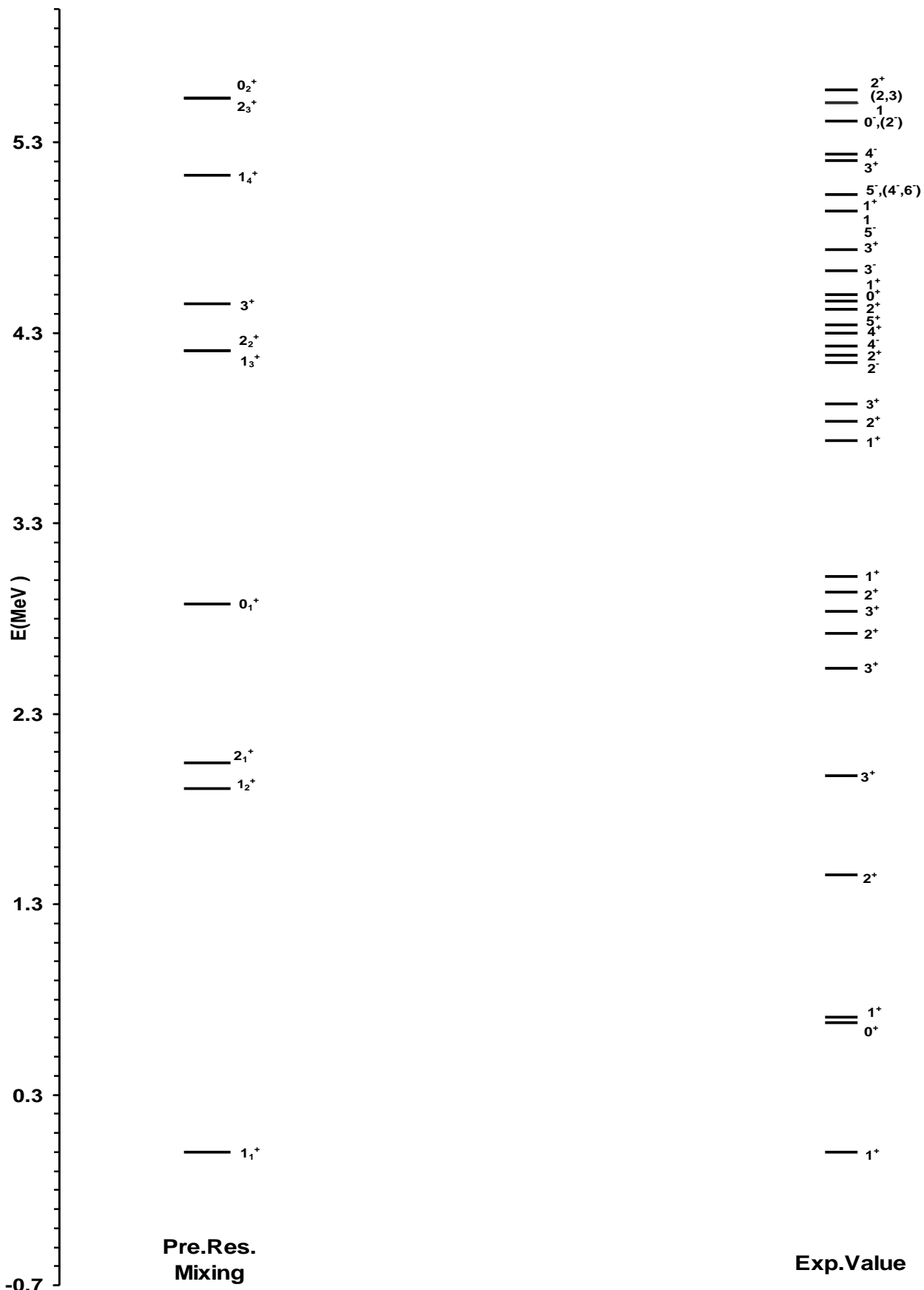
Pre .Res. Mixing Configuration		Exp.Res. [19,18 ,17]	
$J^\pi$	$E(MeV)$	$J^\pi$	$E(MeV)$
$1_1^+$	0	$1^+$	0
$0_1^+$	2.878	$0^+$	0.677
$1_2^+$	1.907	$1^+$	0.709

**مجلة جامعة كريلاء العلمية – المجلد التاسع - العدد الثالث / علمي / 2011**

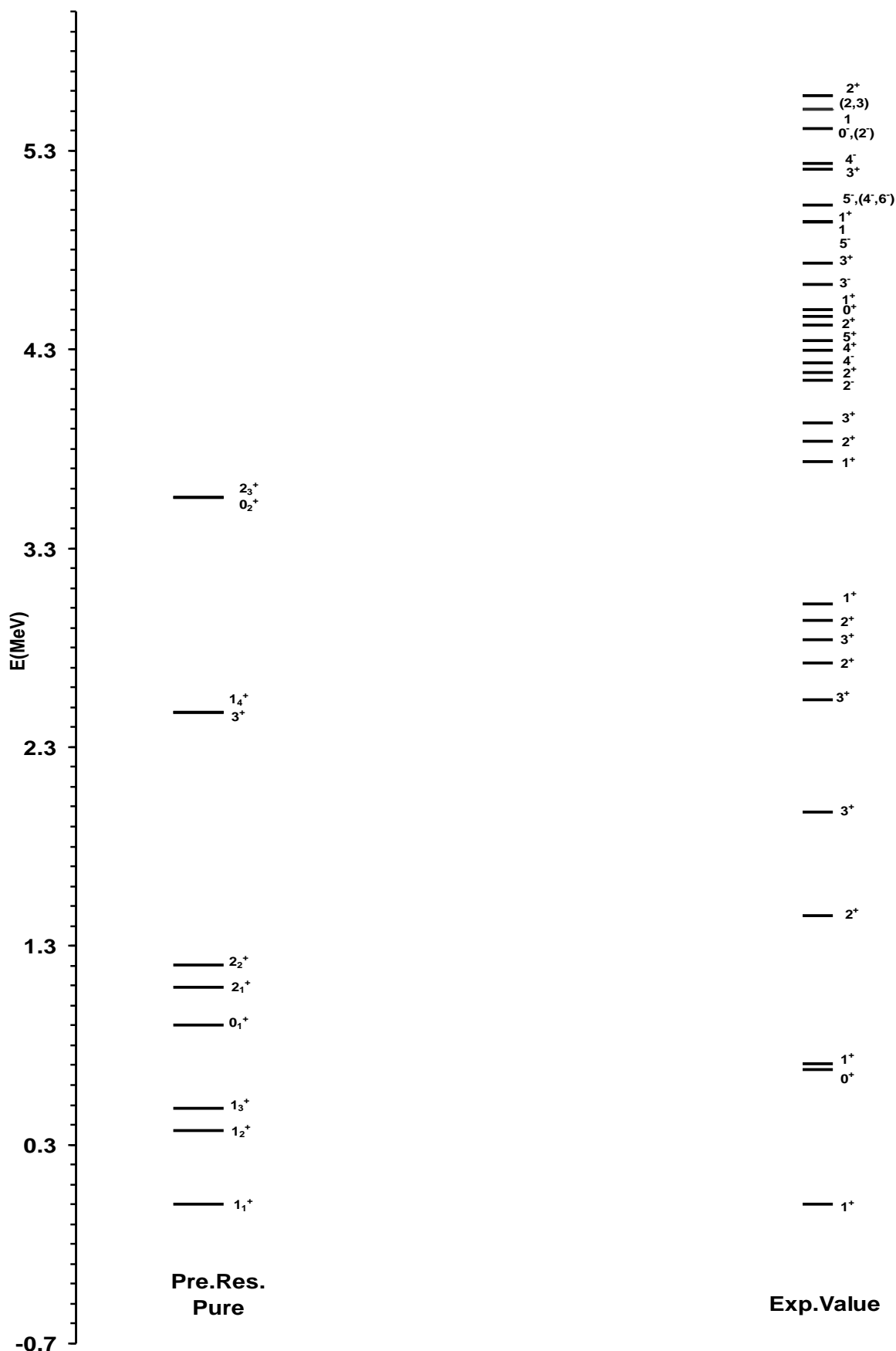
$2_1^+$	2.043	$2^+$	1.454
$1_3^+$	4.205	$1^+$	3.733
$2_2^+$	4.206	$2^+$	3.835
$3^+$	4.452	$3^+$	3.928
$1_4^+$	5.128	$1^+$	4.941
$0_2^+$	5.532	$0^-$	5.411
$2_3^+$	5.532	$2^+$	5.576

جدول (5) المقارنة بين القيم النظرية لمستويات الطاقة نسبة للحالة الأرضية والقيم العملية في الترتيب النقي لنواة  $P^{30}$  بحسب قيم الزخم الزاوي الكلي والتماثل.

Pre .Res. Pure Configuration		Exp.Res. [19,18 ,17]	
$J^\pi$	$E(MeV)$	$J^\pi$	$E(MeV)$
$1_1^+$	0	$1^+$	0
$0_1^+$	0.900	$0^+$	0.677
$1_2^+$	0.370	$1^+$	0.709
$2_1^+$	1.090	$2^+$	1.454
$1_3^+$	0.484	$1^+$	3.733
$2_2^+$	1.204	$2^+$	3.835
$3^+$	2.474	$3^+$	3.928
$1_4^+$	2.474	$1^+$	4.941
$0_1^+$	3.554	$0^-$	5.411
$2_3^+$	3.554	$2^+$	5.576



الشكل (1): المقارنة بين القيم النظرية لمستويات الطاقة نسبية للحالة الأرضية في الترتيب المختلط لنواة  $P^{30}$  والقيم العملية [17,16,15] باستخدام جهد دلتا السطحي بحسب قيم الزخم الزاوي الكلي والتماثل



الشكل (2): المقارنة بين القيم النظرية لمستويات الطاقة نسبية للحالة الأرضية في الترتيب النقي لنواة  $\text{P}^{30}$  والقيم العملية [17,16,15] باستخدام جهد دلتا السطحي بحسب قيم الزخم الزاوي الكلي والتماثل

**المناقشة والاستنتاجات (Discussion and Conclusions)**

أوضح بحسب قيم مستويات الطاقة النهائية لنواة  $P^{30}$  في الترتيب المختلط المرفقة في الجدول (4) وبالشكل (1) إن هناك تواافق ملحوظ مع مستويات الطاقة العليا العملية وكما يأتي :-

تم تحديد طاقة المستوى  $1^+$  بالقيمة  $4.205 \text{ MeV}$  عند مقارنتها بالقيمة العملية  $3.733$  ، وفيما يخص طاقة المستوى  $2^+$  فحددت بالقيمة  $4.206 \text{ MeV}$  في حين كانت قيمتها العملية  $3.835 \text{ MeV}$  ، كما وحددت قيمة طاقة المستوى  $3^+$  وهي  $4.452 \text{ MeV}$  التي قورنت بالقيمة العملية  $3.928$  ، ووجدت طاقة المستوى  $1^+$  بقيمة  $5.128 \text{ MeV}$  في حين ظهرت قيمتها العملية  $4.941 \text{ MeV}$  ، وجدنا إن طاقة المستوى  $0^+$  بقيمة  $5.5324 \text{ MeV}$  ، وظهرت قيمتها العملية  $5.411 \text{ MeV}$  التي تمثل المستوى  $0^-$  ، ووجدت طاقة المستوى  $2^+$  بقيمة  $5.532 \text{ MeV}$  وقورنت بالقيمة العملية  $5.576 \text{ MeV}$  .

إما قيم مستويات الطاقة النهائية لنواة  $P^{30}$  في الترتيب النقي المرفقة في الجدول (5) وبالشكل (2) فوجد بأن هناك تطابقاً جيداً مع مستويات الطاقة الواطئة العملية وكما يأتي :-

لقد تم الحصول على قيمة طاقة المستوى  $1^+$  وهي  $0.370 \text{ MeV}$  في حين كانت قيمتها العملية  $0.709$  ، وحصلنا على قيمة طاقة المستوى  $2^+$  وهي  $1.090 \text{ MeV}$  في حين ظهرت قيمتها العملية وهي  $1.454 \text{ MeV}$  ، وفيما يخص طاقة المستوى  $0^+$  فقد حددت بقيمة  $0.90 \text{ MeV}$  في حين كانت القيمة العملية لهذا المستوى  $0.677 \text{ MeV}$  .

أما الفروقات الموجودة بين المستويات للترتيبين تعود أيضاً لان الجهد  $SDI = V_0 R_0$  ، هذا وقد تبين من خلال النتائج المتقدمة للنواة المستخدمة في الدراسة بأن تأثير نوع النيوكليليون يظهر في الحسابات من خلال قيمة طاقة الجسيمة المفردة والتي تعتمد بشكل رئيس على نوع النيوكليليون . حيث إن نواة  $P^{30}$  تتكون من نوعين مختلفين من النيوكليليونات (بروتون واحد ونيوترون واحد) والواقعة خارج القلب المغلق  $Si^{28}$  وفي فضاء الأنماذج ( $1s_{1/2} 2od_{3/2}$ ) ، حيث أن التركيب النووي لهذه النواة غير مستقر ولا تخضع لنظرية الحزم وأن دالة الموجة النهائية هي خليط من دوال موجة البروتون والنيوترون مما يزيد بعدد المستويات المخلوطة التماشية والتي يكون موقعها في مستويات الانحلال غير محدد دائماً ، بالإضافة إلى ذلك هناك عدد من المستويات العملية المتداخلة والتي لم تظهر لها قيم في حساباتنا النظرية لكلا الترتيبين المختلط والنقي.

بحسب النتائج التي تم الحصول عليها بتطبيق أنموذج القشرة النووي واستخدام جهد دلتا السطحي للنواة المختارة في الدراسة نستنتج ما يأتي :-

- 1- إن أنموذج القشرة النووي ناجح لحساب مستويات الطاقة للنواة المختارة في الدراسة باستخدام جهد دلتا السطحي، رغم الاختلافات الموجودة في النتائج عند مقارنتها بالعملية .
- 2- إن الترتيب المختلط يعطي لمستويات الطاقة قيمًا أكثر دقة وأقرب إلى القيم العملية من الترتيب النقي(بالنسبة لقيم مستويات الطاقة العالية) ويعد ذلك لعدم إهمال تأثير المستويين اللذين يمثلان فضاء الترتيب بعضها في بعض في الترتيب المختلط.
- 3- أثبتت الحقيقة العلمية، وهي أن قيم مستويات الطاقة في الترتيب المختلط تتدفع إلى الأمام (أي إنها تزداد) إذا ما قورنت بمثيلتها في الترتيب النقي وهذا ملاحظ في جميع قراءتنا للنواة التي استخدمت في الدراسة.
- 4- نلاحظ أن تأثير نوع النيوكليليون يظهر في طاقة الجسيمة المفردة للبروتون والنيوترون أي عندما يكونا النيوكليليونين في خارج القلب المغلق غير متماثلين.

**(References )**

**المصادر**

- 1- John lilly", Nuclear Physics ,Physics Principles and Applications", John Wiley & Sons , Ltd , ( 2001).
- 2- E.Gaurier, G. Martines-Pinedo, F. Nowacki, A.Poves, A.P.Zuker, Rev.Mod .Phys,77, P. 427-488,( 2005).
- 3- K.S.Krane," Introductory Nuclear Physics",John Wiley&Sons,Inc, (1988).
- " Nucleus Shell Theory"4- Amosede – Shalit , Igal Talmi, Academic press, New York,( 1963).
- 5- P.J. Brussaard, P.W.M. Glaudemans , " Shell Model Application In Nuclear Spectroscopy ", North – Holl and Publishing Company., (1977).
- 6- R.Arview,O.Bohigas,C.Quesne, Nucl.Phys.A143, P.577-601, (1970).
- 7- A. Goswamit, L.Lin, Nucl. Phys.A, 186,P.88-96,( 1972).
- 8- M. Pautrat, J. M. Lagrange, J. S. Dionision, Ch-Vieu, J. anhorenbeeck , Nucl. Phys. A,443, P.172-188, (1985).
- 9- A. Jasielska, S. Wiktor, Acta. Phys. Pol, 1,B7, 2,( 1976).  
. ,M. Sc.Thesis , Kufa University ,( 2005) 10- S.A. Hasson
- 11-J. Suhouen, 'Theoretical and Mathematical Physics' Springer-Verlag Berlin Heidelberg ,( 2007).
- 12-R.D. Lawson, " Theory of the Nuclear Shell Model ", Clarendon Press,Oxford,(1980).
- 13- Arthur Beiser,"Concepts of Modern Physics ",McGraw-Hill book Company, London,(2003).
- 14- D.W.Loveland ,D.J.Morrissey, G.T. Seaborg, "Modern Nuclear Chemistry ", John Wiley& Sons ,Inc,(2006).  
P.M.Endt,R.B.Firestone,Nucl.Phys.A633,1,(1998).-15
- 16-R.B.Firestone,C.M.Baglin,"Table of Isotopes",John Wiley &Sons, (1999).
- 17-M.S.Basunia,"Nuclear Data Sheets "111,2331(2010) .